

論 文

UDC 669.162.267.4 : 669.162.16 : 662.753.325

高炉への石灰-重油スラリー噴射の研究*

田島喜久雄**・城本 義光***・金山 有治****

奥野 嘉雄****・岡本 晃*****

Study of Lime-Slurry Injection into Blast Furnace

Kikuo TAJIMA, Yoshiteru JOMOTO, Yuji KANAYAMA,

Yoshio OKUNO, and Noboru OKAMOTO

Synopsis:

The effects of injection of lime-oil slurry through the tuyeres were studied with the use of modelling instruments, and full scale tests of injection into blast furnace were carried out at Muroran Works, Nippon Steel Corp., Japan.

Following results were obtained.

(1) Degree of sulphur distribution coefficient between pig iron and slag under the condition of an operating blast furnace was only 20-40% compared with the equilibrium to be obtained.

(2) Sulphur content of pig iron drops was reduced rapidly in fluidized lime fines. Lime fines reacted mostly in melted zone of materials so that those slag basicity was increased. The dropping temperature of melted materials, however, did not rise in proportion to injection rate of lime, when the parts of the amount of lime in the burden materials charged into the furnace top were replaced beforehand by the equivalent amount of injected lime fines.

(3) Lime-oil slurry injection tests through all the tuyeres of Muroran No. 1 blast furnace showed that 25% of sulphur content of pig iron was reduced at the lime injection rate of 20 kg/t-p, and permeability of the melting zone was improved without producing the viscous slag.

1. 緒 言

最近、良質の石炭が不足してきたため、コークス中の硫黄分が高くなりつつある。また、コークスの代替燃料として送風羽口から噴射される重油も低硫黄分のものの入手が困難になってきている¹⁾。このため高炉炉内に入る硫黄量が次第に増加するすう勢にあり、溶銑中の硫黄分を低減できる技術の開発が望まれている。

従来より、溶銑中の硫黄分を低くするため、高炉炉床部の鉱滓塩基度を高くして脱硫率の向上を図る方法がとられているが、現状の塩基度 (CaO/SiO_2 で 1.2~1.3) が限度であり、これ以上の上昇は、鉱滓の流動性を悪くして炉下部の通気性を阻害するので、炉況の保持を困難

にする。高炉にとって、鉱滓塩基度の低い酸性操業のほうが、炉下部の溶融帯で形成される鉱滓の流動性をよくするので炉況の保持がしやすい。一方、塩基性操業では通気性を悪くするが、脱硫に対して有効である。したがって、溶融帯の鉱滓は酸性のほうが、また炉床部の鉱滓は塩基性であるほうが望ましい²⁾。

送風羽口から、石灰粉などの塩基性溶剤を、炉頂部からの装入石灰石とおきかえる形で噴射すれば、溶融帯の鉱滓成分は酸性に、炉床部の鉱滓成分は塩基性に保持できる、いわゆる、酸性塩基性同時操業が行なえるようになる。この操業が行なえれば噴射した石灰粉などの溶剤による炉内ガス中硫黄分の吸収、滴下溶銑粒との接触による脱硫効果、および溶融帯の通気性改善による生産性

* 昭和 49 年 7 月 8 日受付 (Received July 8, 1974)

** 新日本製鉄(株)室蘭製鉄所 工博 (現 韓国科学技術研究所) (Muroran Works, Nippon Steel Corp.)

*** 新日本製鉄(株)室蘭製鉄所 工博 (現 室蘭工業大学) (Muroran Works, Nippon Steel Corp.)

**** 新日本製鉄(株)室蘭製鉄所 (Muroran Works, Nippon Steel Corp., 12 Nakamachi Muroran 050)

***** 新日本製鉄(株)生産技術研究所 (Process Technology R&D Laboratories, Nippon Steel Corp.)

の向上効果などが期待できるものと考えられる。

筆者らは、この考えにもとづき、安定した炉況を維持しつつ炉床部の溶銑中の硫黄分を低減する技術を開発すべく、送風羽口からの石灰・重油スラリー噴射法の研究に着手した。石灰粉を重油に混合してスラリーとして噴射する方法をとつたのは、粉塵の発生を伴わず液体として噴射できるとともに、従来の重油噴射設備がそのまま使用できる利点があるためである。

研究にあたつては、石灰粉による炉内での脱硫効果や石灰粉の活性化状況などについて基礎および予備試験で検討を行なつたのち、高炉での操業効果を確かめるため、室蘭製鉄所第1高炉で石灰スラリー噴射試験を実施した。

本報告はこれらの基礎試験から工業化試験までの研究結果について述べたものである。

2. 基礎試験

2.1 高炉炉内での脱硫平衡到達度

石灰スラリー噴射法の研究を始めるにあたり、まず、操業高炉内の溶銑と鉱滓間の脱硫平衡到達度について測定を行ない、炉内での脱硫率がさらに向上できる余地があるかどうかを検討してみた。

高炉内の脱硫は、おもに炉腹・朝顔部から炉床部にかけて進むとされているが³⁾⁴⁾、“仕上げ”脱硫は炉床部の鉱滓・溶銑間においてなされる。したがつて、炉内の脱硫性を知る指標としては鉱滓・溶銑間の硫黄分配率(S)/[S]が有効である。現状の高炉内での(S)/[S]は通常20~60の値の範囲にあるが、多くの研究者によつて提出された平衡式から求まる(S)/[S]ははるかに高い値を示している⁵⁾⁶⁾。

高炉の出銑槽より同時に採取した銑鉄と鉱滓をタンマン電気炉に組込んだ黒鉛るつぼ内で溶解し、攪拌脱硫した結果、高炉出銑時よりさらに脱硫は進行し、1 hrの攪拌によつて溶銑中の[S]は0.027~0.046%から0.015~0.026%へとほぼ半減した。実験温度は1450°Cと1500°Cにとつたが、差はあまりなく攪拌による効果のほうが大きくなっている。使用したるつぼは内径65 mm、深さ120 mmのもので、所定温度まで銑鉄と鉱滓を別個に溶解したのち、鉱滓を溶銑表面に落とし、黒鉛製の攪拌棒で攪拌する方法をとつた。溶銑と鉱滓を3 hr攪拌するとほぼ平衡に達し、その平衡値はBELLの実験式⁷⁾によつて計算される値とほぼ一致した。

鉱滓成分がかなり変化した時期の高炉鉱滓の平衡硫黄分配率(L_{S^*} の記号で示す)をBELLの式から計算し、実際に得られた硫黄分配率(L_S の記号で示す)と比較し

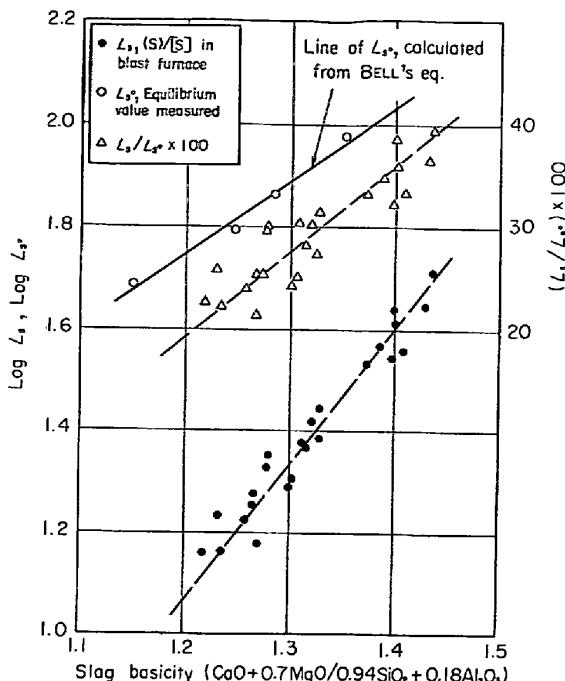


Fig. 1. Degree of desulphurization rate in blast furnace and $L_S - L_{S^*}$ ratio.

てみるとFig. 1のようになる。なお、図中に試験装置で測定した平衡硫黄分配率もあわせて示した。

図から明らかなように、脱硫平衡到達度(L_S / L_{S^*})は鉱滓の塩基度 $((\text{CaO} + 0.7 \text{ MgO}) / (0.94 \text{ SiO}_2 + 0.18 \text{ Al}_2\text{O}_3))$ とともに増加するが、塩基度が1.2~1.4の範囲では、20~40%と低い値にとどまつている。

攪拌脱硫試験の場合でも、平衡に達するまでに約3 hrを必要とするので、脱硫平衡到達度を上げるには単に溶銑と鉱滓間の接触時間を長くするだけでは不十分である⁸⁾。したがつて、石灰粉の噴射によって、炉床部に至る前に石灰粉と滴下溶銑粒と接触させて溶銑中の硫黄分を減じて羽口近傍で脱硫を進めることは有効であると判断された。

2.2 石灰粉と滴下溶銑粒間の脱硫効果

送風羽口を通じて燃焼帯内に噴射された石灰粉は、旋回ガス流によって分散されたのち、上部コーカス層を通過して滴下していく溶銑粒と接触しつつ、溶融帯中に吹き上がりしていくものと想定される。したがつて、石灰粉による脱硫は、おもに燃焼帶上端付近で吹上がった石灰粉が単体、もしくは鉱滓中に部分的に濃縮した形で溶銑粒と接触して進むものと判断された。これらの状態を再現することは非常に困難なので、ここでは、石灰粉の脱硫効果が期待できるとすれば前者のケースであろうと考え、モデル試験装置をもちいてその効果を確かめた。

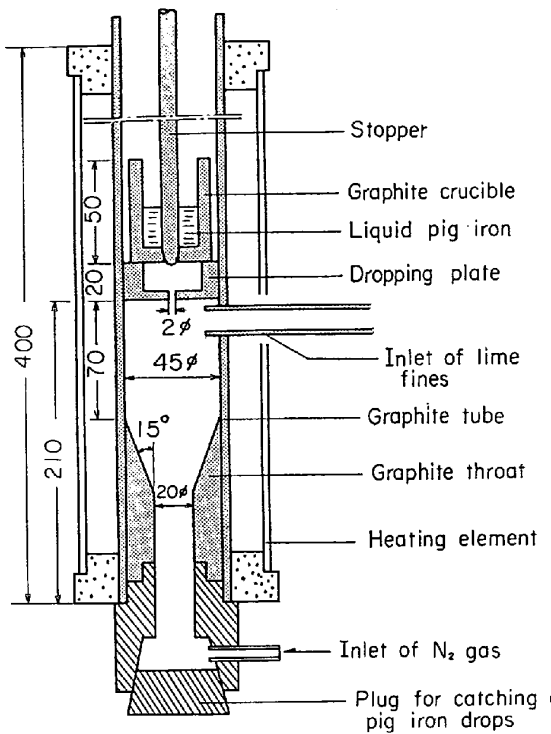


Fig. 2. Experimental apparatus for measuring of desulphurization rate of pig iron drops in fluidized bed of lime fines.

試験装置は Fig. 2 に示す装置をタンマン電気炉にくみこんだものである。窒素ガスを流しながら所定温度まで昇温したのち、石灰粉を装入口からおしこみ流動層を形成させる。こののち、銑鉄溶解るつぼのストッパーを引抜いて目皿上に溶銑を落とし、目皿(2 mm φ 孔×3 個)から溶銑粒を流動層中に滴下させる。試験条件は次の通り。

雰囲気温度 1500, 1600, 1700°C. 窒素ガス流量 20 l/min. 溶銑量 10 g. 石灰粉, CaO と CaCO₃ の試薬。石灰粉量, CaO 試薬の場合, 6 g, CaCO₃ の場合, 13.6 g (CaO 成分が等量になる値). 粉粒径 150~325 メッシュ。

銑鉄試料は [C] 4.51%, [Si] 0.34%, [Mn] 0.73% の成分のものを母材として, [S] が 0.064, 0.088, 0.206% となる 3 種類のものを作成した。

溶銑粒は高温の石灰粉流動層中を滴下することにより、Fig. 3 に示すように大幅に脱硫される。脱硫率は流動層の温度が高くなるほど、また、CaCO₃ 粉より CaO 粉の流動層のほうが大きくなる。なお、溶銑母材中の硫黄分と石灰粉の粒径を変えて実験したが、脱硫率への影響は確認できなかつた。一方、流動層下部の傾斜管壁面に石灰粉を堆積させ、ここに溶銑粒を滴下して接触させる実験も行なつたが、この場合は、硫黄分 0.088% と

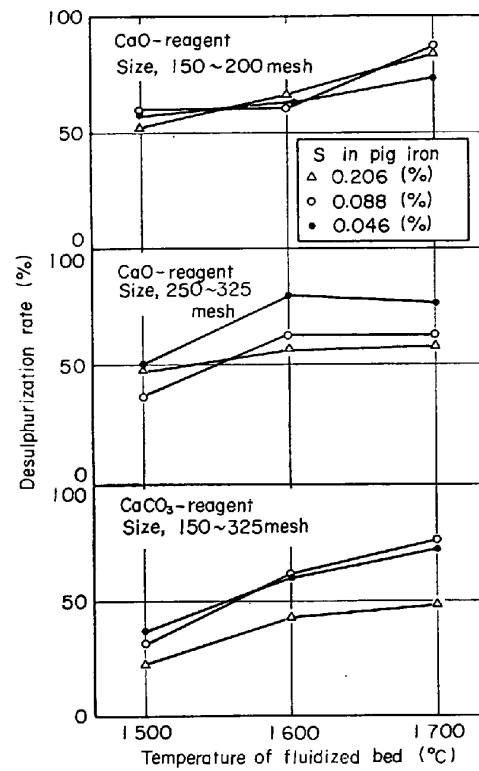


Fig. 3. Desulphurization rate of pig iron drops in fluidized bed of lime fines.

0.206% の銑鉄試料では 90.6% と 89.8% の高い脱硫率が得られた。

したがつて、2000°C に近い高炉の羽口先燃焼帯の境界で石灰粉と溶銑粒の接触が多くおこるとすれば、脱硫効果は期待できると考えられる。

2.3 石灰粉の滓化状況

噴射した石灰粉が溶融帶ですみやかに滓化すれば、溶融帶の通気性を阻害することはない。しかし、石灰粉の滓化がおそいと溶融帶下部で局的に石灰粉濃度が高くなり、溶融物の流動性を悪くして通気性を阻害する。このため石灰粉の溶融帶での滓化状況について検討した。

試験装置は Fig. 4 に示す装置をタンマン電気炉にくみこんだものである。底部を目皿状とした黒鉛るつぼ内に予備還元した自溶性焼結鉱とコークスの混合物を入れ、下部から還元ガス (CO 33% + N₂ 67%) を流量 20 l/min の割合で流しながら所定の昇温速度で 1350°C まで加熱する。昇温速度は 1000°C までは 40°C/min, 1000~1350°C の間は 5°C/min である。1350°C に達したのち、5 min で 1400°C 以上の所定の試験温度まであげるが、1400°C になつた時点からガス噴出管を通して石灰粉の吹込みを開始する。試験温度での保持時間は 15 min とし、この時間中吹込みを継続する。試験後に窒素ガスを 20 l/min の割合で流して冷却し、黒鉛

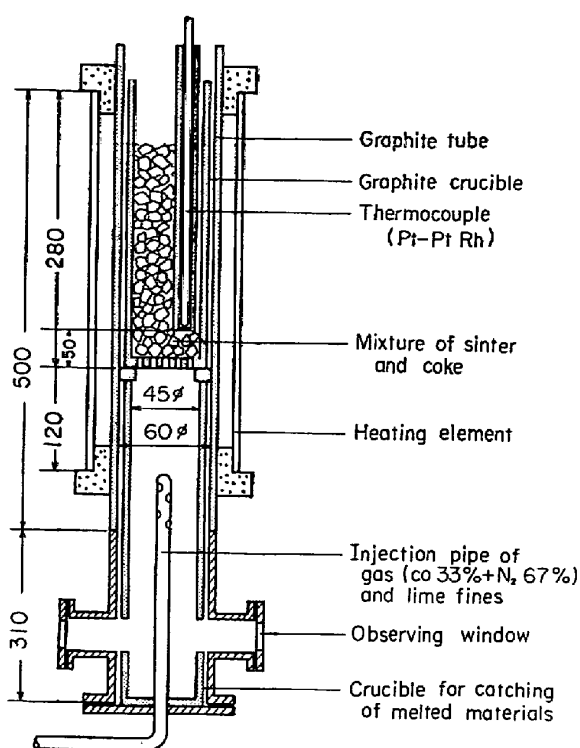


Fig. 4. Experimental apparatus for measuring of slagging of injected lime fines (CaO-reagent).

管底部に滴下した鉱滓量を測定する。

供試料は粒径 5~10 mm の予備還元した焼結鉱 (CaO/SiO₂, 1.16, 還元率 35.6%) とコークスを 3 対 1 の重量比で混合したものを使用した。装入量は 400 g である。また、石灰粉は -250 メッシュの CaO 試薬を使い、吹込み量は 4, 8, 16 g/min の 3 種類選んだ。この量は銑鉄 t 当たりの吹込み量に換算すると 5, 1, 20 kg/t-p に相当する。

石灰粉を吹込んだ場合の溶融層温度と溶融物滴下量との関係を Fig. 5 に示す。吹込まない場合と同等の滴下速度を維持するに必要な温度（以下は滴下必要温度とよぶ）は石灰粉の吹込み量とともに上昇する。

4 g/min の溶融物滴下速度を保持するに必要な温度と石灰粉吹込み量との関係をみてみると Fig. 6 のようになる。石灰粉 5 kg/t-p の吹込みにより滴下必要温度は約 50°C 上昇するが、吹込み量をこれ以上にましてもあまり上昇しない。なお、まえもつて石灰粉と等量の石灰石を加えた焼結鉱についても溶融温度を測定し、その結果を Fig. 6 に示すが、石灰石の添加量にほぼ比例して上昇している。石灰粉の噴射量がほぼ 15 kg/t-p になると、石灰粉を吹込んだときの滴下必要温度のほうが溶融温度より低くなっている。

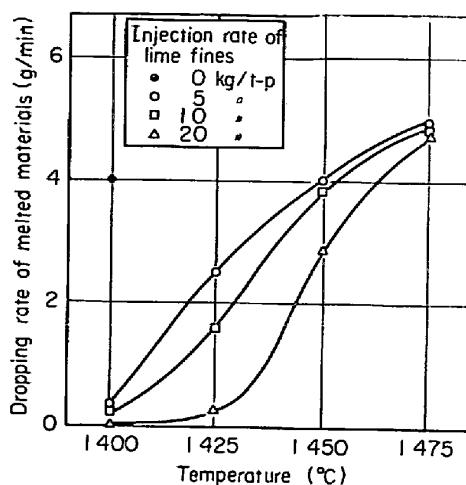
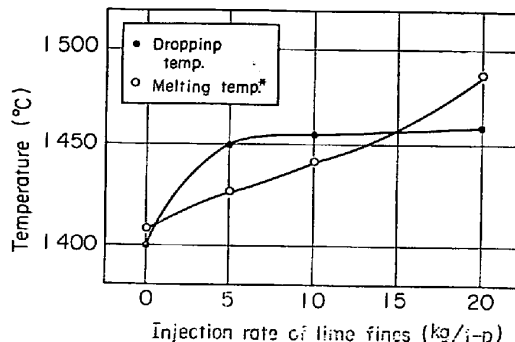


Fig. 5. Influence of temperature on the dropping rate of melted materials at various injection rate of lime fines.



* Melting temperature of materials which lime ore equivalent to lime fines by weight was added to, instead of injection.

Fig. 6. Relation between injection rate of lime fines (CaO-reagent) and temperature for securing the dropping rate of melted materials of 4g/min.

滴下必要温度は、石灰粉吹込み量の少ない範囲で急上昇しているが、これは少量でも溶融層下端で濃縮し、溶融物の流動性を悪くして滴下を困難にするためと考えられる。しかし、溶融層下端の濃縮部分を滴下させるに十分な温度が与えられれば、滴下が逐次生ずるので、吹込み量をましても溶融層下端で多く濃縮することなく、石灰粉の滓化が進むものと考えられる。

一方、石灰粉の溶融層での反応割合を調べるため、溶融層温度を 1400°C に保持して 20 kg/t-p の石灰粉を 15 min 吹込んだ。溶融物試料の成分変化から反応量を調べた結果では、吹込み石灰粉の 93% が反応していた。また、シャフト部での反応量を推定するために、装入物試料を 1000°C の温度に保持して石灰粉を 60 min 吹込み、試料中の CaO 分の増加量を調べたが、反応はほとんどみられなかつた。したがつて、高炉に石灰粉を噴射

した場合も、吹込んだ石灰粉の多くは溶融帯で反応するものと判断された。

石灰粉が溶融帯で反応し、かつ、Fig. 6 に示すように吹込み量が 5 kg/t-p をこえても滴下必要温度を急上昇させることはないので、炉頂からの装入石灰石と等量置換する形で石灰粉を噴射した場合、溶融帯温度が大幅に高くなる危険はないものと考えた。

2.4 石灰粉およびスラリーの性状

石灰粉を重油スラリーとして高炉に噴射する利点は緒言で述べたとおりである。スラリーの輸送および噴射にあたり、あらかじめ石灰粉の粒度構成、スラリーの粘度、スラリー中石灰粉の安定性などについて調査した。

噴射にもちいた石灰粉は石灰石焼成キルンから発生したサイクロン粉である。サイクロン粉はキルン内で発生する微粉を捕集したもので、Ignition loss から計算すると粉中には CaCO_3 73.7%, CaO 18.7% 含まれることになる。サイクロン粉の粒度は最大 1.17 mm であるが 90% 近くは 0.1 mm 以下の粒で占められている。この程度の粒径であれば、3 mm 以下の粒度を含む粉炭を使用して石炭・重油スラリーを噴射した経験からみて⁹⁾、噴射バーナーなどが閉塞する危険はない。石灰粉と混合する重油は高炉に噴射されている C 重油である。サイクロン粉と C 重油の性状を Table 1 に示す。

石灰スラリーの粘度は回転式粘度計を用いて測定した。各スラリー温度と石灰粉濃度における粘度を Fig. 7 に示す。石灰粉濃度が 40 wt% 以下であれば、粘度の上昇はあまり大きくない。石灰スラリーの比重も浮秤法により測定したが、30, 40 wt% の濃度で、1.12, 1.22 g/cm³ (測定温度 90°C) の値が得られ、計算値とほぼ一致した。なお、石灰粉が重油中で凝集したり、泥化する傾向は認められなかつた。

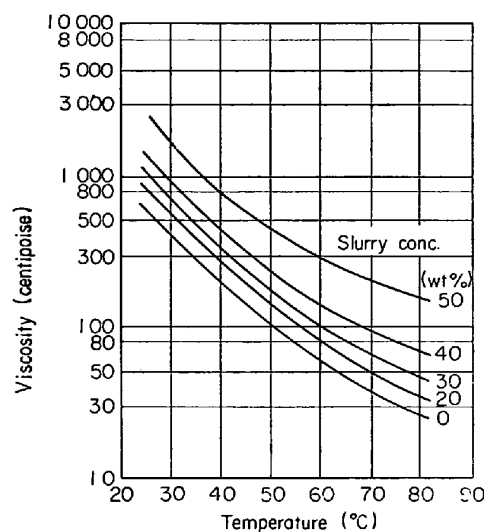


Fig. 7. Viscosity of slurry of lime fines and heavy oil.

石灰粉のスラリー中の安定性は輸送管もしくはタンク内で沈降するか否かによるが、石灰スラリーを 10 cm/sec 以上の流速で流すことにより、沈降が生じないことを確かめた。すなわち、輸送管内のスラリー流速を種々変えて測定した輸送圧損失値を POISEUILLE の圧損式に入れ見掛け上の粘度を求めた。この粘度は流速が大きく沈降が生じない場合は一定値を示すが、沈降が始まると急上昇する⁹⁾。このときの流速が安定して流れるための限界値である。垂直および水平の輸送管内で沈降を生じない限界流速値を求めたが、その値は、それぞれ GONCHAROV と SPELLS が提案している実験式の計算値とほぼ一致した¹⁰⁾¹¹⁾。実測値と計算値との比較を Fig. 8 に示す。

実際に噴射する場合の管内流速は噴射流量からみて、30~100 cm/sec の範囲にあるので、管内で石灰粉が沈降する危険はないと判断した。

Table 1. Properties of lime fines and heavy oil.

Lime fines caught by cyclone of calciner

Chemical composition (%)						Size distribution (%)				Mean dia. (mm)
CaO	SiO ₂	Al ₂ O ₃	MgO	S	Ig. Loss	14~48 mesh	48~150 mesh	150~250 mesh	-250 mesh	
58.91	2.96	2.90	2.05	0.275	31.99	3.00	8.57	30.83	57.60	0.079

Heavy oil

Chemical composition (%)						Carbon residue (%)	Specific gravity	Calorific value (gross) (kcal/kg)	Calorific value (net) (kcal/kg)
C	H	N	O	S	H ₂ O				
83.68	11.61	0.31	0.43	2.57	1.40	7.86	0.945	10 262	9 627

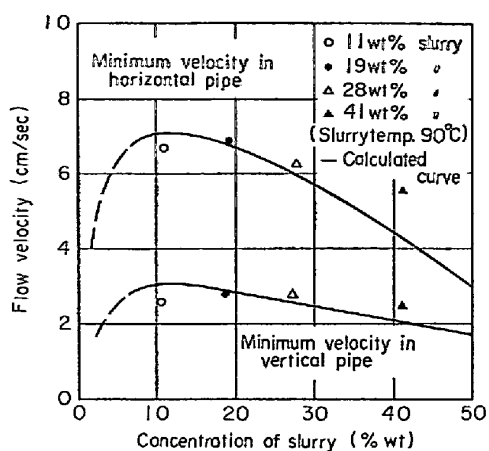


Fig. 8. Minimum flow velocity of slurry for securing the suspension of lime fines in pipe (dia. 2 inch).

3. 予備試験

3.1 石灰スラリーの燃焼状況と燃焼ガス中硫黄分の吸収

石灰スラリーを送風羽口から噴射した場合、重油の燃焼に対する石灰粉の影響および石灰粉による燃焼ガス中硫黄分の吸収効果が考えられたので、これらの点を中間規模の燃焼炉をもちいて検討した。

燃焼炉の概略寸法を Fig. 9 に示す。試験に供した石灰粉と重油は Table 1 に示す性状のものである。スラリーの石灰粉濃度は 40 wt% とし、噴射流量は 0.2~1.0 l/min の範囲とした。燃焼用バーナーは空気もしくは蒸気で霧化する 2 重管構造のものを使用した。2 次空気は別のプローパイプで供給した。燃焼ガス中の亜硫酸ガス（以下、SO₂ と記す）の分析は、ダストの多い高温ガスでも処理できるようにガス採取用導管を改良した以外は、JIS 法の手順にしたがつた。そのほかの燃焼ガス成分の分析はガスクロ式とオルザット式分析計を併用して行なつた。

石灰スラリーと重油単味を噴射した場合の燃焼状況を Photo. 1 に示すが、両者の間に特に差は認められない。また、空気霧化と蒸気霧化による燃焼状況も調べたが、同じく大きな差は認められない。なお、使用空気量は理論空気量の 0.9~1.2 倍の範囲とした。

石灰スラリーと重油単味の燃焼温度（シース熱電対で測定した火焰最高温度）は 1300~1400°C であつたが、この値は入・出熱のバランスから求めた理論燃焼温度のほぼ 67% に相当した。実測した燃焼温度と計算燃焼温度（理論燃焼温度の 67% に相当する温度）と比較してみると Fig. 10 のようになる。空気霧化の場合、重油單

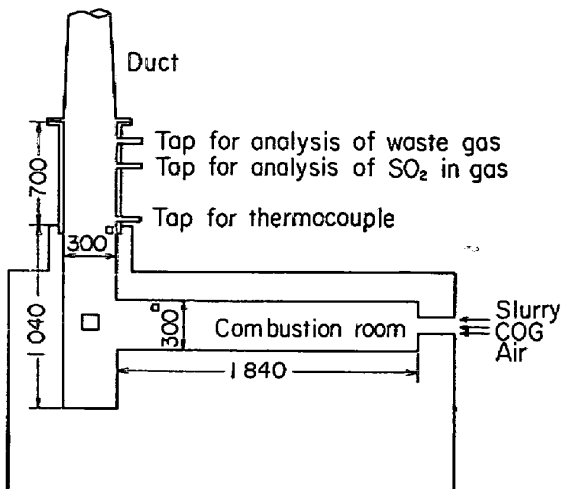


Fig. 9. Experimental combustion furnace of lime-oil slurry.

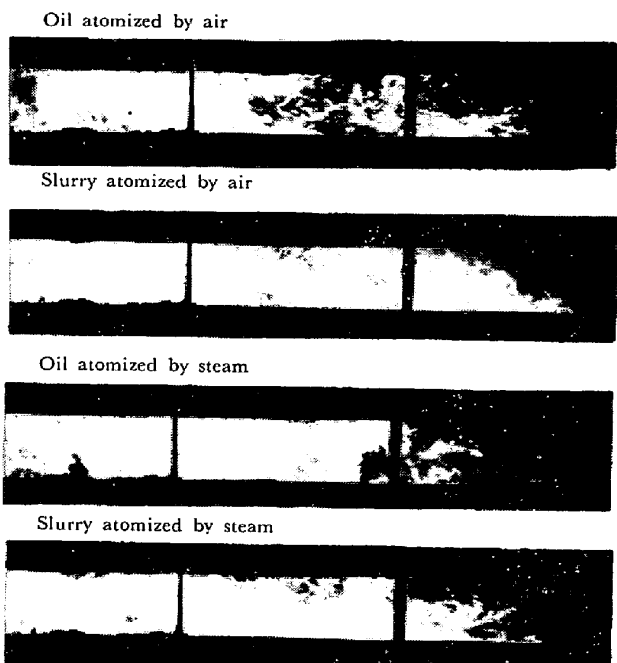


Photo. 1. Appearance of combustion flame of oil and lime-oil slurry in experimental furnace. (Shutter speed 0.001 sec. injection rate 0.5 l/min).

味にくらべて、等量の重油を担体として石灰粉を添加したスラリーの燃焼温度は、40 wt% の場合、30~50°C と低くなる。また、空気霧化にくらべ、蒸気霧化の場合の燃焼温度は重油単味、スラリーともに 40~60°C 低くなっている。

燃焼ガス中硫黄分の石灰粉による吸収効果は燃焼室から排出する石灰粉の硫黄吸収量および燃焼ガス中の SO₂ 分を分析することによつて求めた。

燃焼室出口付近における石灰粉の硫黄吸収量から求めた脱硫率は 3 % 程度にとどまつた。なお、9 m 近い煙道

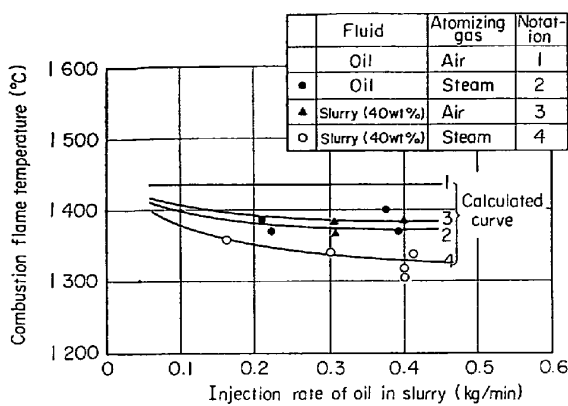


Fig. 10. Comparison of observed and calculated flame temperature of oil and lime-oil slurry.

を経たあとの石灰粉についても同様に調べたが、この場合は9~20%の脱硫率を示した。脱硫率の算出には石灰粉が全量煙道から排出されたとしたが、実際には燃焼室で一部沈積するものもあつたので得られた脱硫率は必ずしも正確ではない。

一方、燃焼ガス中の SiO_2 分を石灰スラリーと重油単味の噴射時にそれぞれ分析し、その濃度差を比較することにより、石灰粉の脱硫効果を調べた。 SO_2 分析用の炉内ガス採取位置は Fig. 9 に示すとおりである。

なお、燃焼ガス中の硫黄分はガス中の酸素ポテンシャルが低いと完全に SO_2 とならないので、硫黄分の全量を正確に測定することはできない。燃焼ガス中の $p_{\text{CO}}/p_{\text{CO}_2}$ と (測定硫黄分)/(理論硫黄分) との関係を調べた結果、 $p_{\text{CO}}/p_{\text{CO}_2}$ の値が 0.1 以上になつた場合に (測定硫黄分)/(理論硫黄分) の値が急激に低下してガス中の硫黄分が全量 SO_2 の形で検出できなくなることを確かめた。したがつて、 SO_2 分析時には理論空気量以上で、かつ、燃焼ガスの $p_{\text{CO}}/p_{\text{CO}_2}$ の値が 0.1 以下となるように保持した。

この条件は、羽口先の CO_2 濃度が高い領域だけにしか該当せず、羽口先コークスの燃焼によって生ずる H_2S 、 COS 、 S_2 などのガスの吸収効果は確認できないが、少なくとも、羽口先で燃焼する重油中の硫黄分の石灰粉による吸収効果は概略推定できると考えた。

このような条件で求めた燃焼ガス中 SO_2 分と噴射量との関係を図示すると Fig. 11 のようになる。石灰スラリー噴射時の SO_2 分は重油単味の場合よりわずかに低い程度であり、これから計算される脱硫率は採取した石灰粉の硫黄吸収量から求めた3%前後の脱硫率とほぼ一致する。

石灰粉と燃焼ガスの接触時間は、試験炉の場合、0.3~

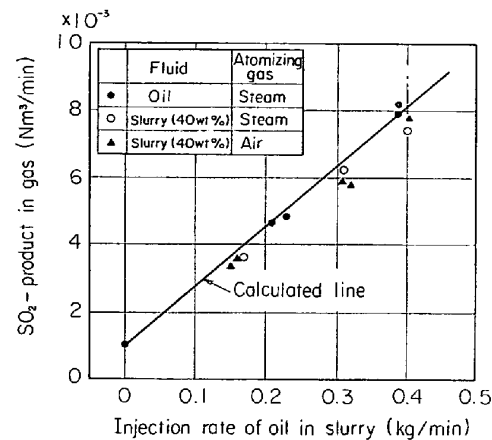


Fig. 11. Comparison of observed and calculated SO_2 -product in combustion gas.

0.5 sec であるのに対し、高炉の羽口先燃焼帯内では0.1~0.2 sec と少ないので、燃焼帯内での石灰粉による重油中硫黄分の吸収効果は、燃焼帯温度が高いことを考慮しても、試験炉でえられた程度の効果にとどまるものと考えられる。

3.2 高炉モデル試験炉への石灰スラリー噴射試験

ここでは噴射に伴う操業への影響を確かめるため、高炉のシャフト下段以降をモデルとして、中間規模の試験炉を製作し、石灰スラリーの噴射試験を実施した。

本試験炉では、おもに石灰スラリー噴射時の溶融帶における脱硫状況および CaO 分布、通気性の難易などを検討した。

3.2.1 試験炉および方法

試験炉の構造を Fig. 12 に示すが、炉内径は 300 mm

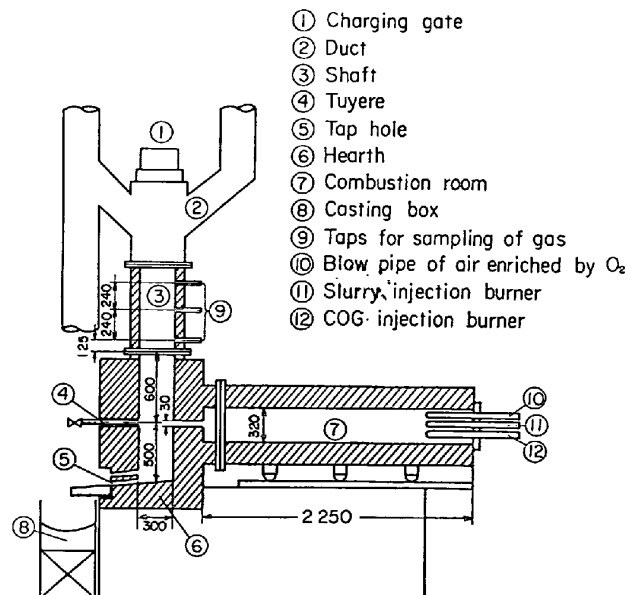


Fig. 12. Experimental furnace designed for analogy in the lower parts of blast furnace.

羽口から炉頂までの高さは1350 mmである。羽口先の燃焼帯が小さいので、石灰スラリーは燃焼室で燃焼させたのち羽口を通して炉内に吹込むようにした。羽口は燃焼室用羽口以外に3カ所設け、それぞれに酸素富化した空気を流した。装入は炉頂ホッパー底部のゲイト弁を開くことにより行なつた。シャフト部には3レベルにガス採取孔(ガス温度・圧力測定孔併用)を設置した。

試験はほぼ次のような工程にしたがつて行なつた。すなわち、当初、コークスのみを装入して送風し、炉体を加熱する。その後、装入物が200 mm降下するごとに予備還元した焼結鉱とコークスを2.5対1の重量比で混合し装入した。初めの混合物が羽口上500 mmのレベルに到達したのちは100 mm降下するごとに装入する。なお、装入レベルは羽口上1.0 mにとつてある。石灰石は重油単味噴射の場合のみコークスの7 wt%に相当する量を炉頂部から混合装入した。これは溶融帶から滴下する鉱滓の塩基度が石灰スラリー噴射時の場合と同等になるようとしたものである。

使用した焼結鉱はあらかじめ20%程度還元した自溶性焼結鉱(塩基度(CaO/SiO₂), 1.25)である。コークスは高炉用コークスである。粒度はそれぞれ5~25 mm, 18~40 mmである。

ガスの採取、圧力・温度の測定は混合装入物が羽口レベルに到達してから行ない、測定後はただちに窒素ガスを吹込んで炉内と燃焼室内のガスを置換し、そのち、燃焼室と3カ所の羽口から蒸気を入れて炉内内容物を急冷した。

石灰粉の噴射量は送風条件と装入物性状から銑鉄生成速度を求め、これを基準として銑鉄t当たり40 kgになるように設定した。スラリー中の石灰粉濃度は33.3%になるように調整したが、実績ではいくらか高くなつた。送風条件は空気流量1.7 Nm³/min, 酸素流量0.3 Nm³/min, 霧化蒸気流量0.3 m³/minにそれぞれ設定した。ガス中硫黄分の分析は、採取ガスと空気とを加熱器内で燃焼させ、SO₂の形にしてからJIS法の手順にしたがつて行なつた。

3.2.2 試験炉の操業結果

スラリーおよび重油単味噴射時の操業状況とガス成分・圧力・温度測定値を一括してTable 2に示す。両試験を比較して、温度、圧力に有意差は認められず、また、スラリー噴射によつて特に操業が悪化することはなかつた。CO濃度が各試験で異なるのは富化酸素流量の変動によるものと考えられる。

蒸気冷却したあとの炉内内容物の状況を観察したが、その外觀は両試験ともほぼ同じであり、溶融帶の形成は

Table 2. Result of operation of experimental furnace.

Indices	Oil		Slurry		
	1st test	2nd test	3rd test	4th test	
Heavy oil (kg/min)	0.072	0.092	0.080	0.083	
Lime fines (")	—	—	0.055	0.052	
Conc. of slurry (%)	—	—	40.7	38.3	
Atomising air (Nm ³ /min)	0.2	0.2	0.2	0.2	
Pre-reduced sinter(kg/cm)	15.0	15.0	15.0	15.0	
Coke (")	6.0	6.0	6.0	6.0	
Limeore (")	0.42	0.42	—	—	
Blast air (Nm ³ /min)	1.7	1.7	1.7	1.7	
Oxygen enrichment (")	0.3	0.3	0.3	0.3	
Conc. of oxygen (%)	33	33	33	33	
Temperature	Tuyere (°C) Shaft-1 ¹⁾ Top (")	1800 840 600	1710 920 500	1760 850 500	1780 830 610
Gas pressure	Tuyere (g/cm) Shaft-1 ²⁾ Shaft-2 ²⁾ (")	29 5 0	24 8 3	23 5 3	28 11 5
Shaft gas in lower level	CO ₂ (%) CO (") H ₂ (") SO ₂ (")	10.0 27.5 3.5 0.036	8.0 40.1 1.8 0.028	8.0 32.7 0.2 0.032	7.8 35.9 0.2 0.031
Top gas	CO ₂ (%) CO (") H ₂ (")	10.0 28.1 2.6	7.0 40.7 2.4	8.7 29.1 6.0 39.9	6.0 39.9 0.7

1) Location of lower shaft level.

2) Location of upper shaft level.

羽口上300~400 mmの位置でみられた。溶融物の滴下は羽口上50~100 mmの位置で生じ、羽口先ではコークスのみが存在していた。

内容物(塊状帶では焼結鉱、溶融帶では融着物)の炉高方向における塩基度と硫黄分の分布をFig. 13に示す。塩基度分布は石灰スラリーと重油噴射時とで差がみられる。溶融帶の塩基度は、重油の場合、下部に行くほど低下しているが、石灰スラリーの場合、逆に上昇している。羽口上100 mmの位置で両者の塩基度はほぼ等しくなる。石灰スラリー噴射時の溶融帶塩基度は溶融帶下端で急上昇するのではなく徐々に増加しているので、噴射された石灰粉は溶融帶上部まで分布したものと判断される。

内容物の硫黄分布は溶融帶以下で高くなつていて、石灰スラリーと重油噴射時とあまり差がないが、溶融帶下端にいたつて石灰スラリーのほうが高い硫黄分を示している。これを銑鉄中と鉱滓中の硫黄分にわけてみると、石灰スラリー噴射時には溶融帶下端の銑鉄中硫黄分が低く、鉱滓中硫黄分が高くなつていて、この位置

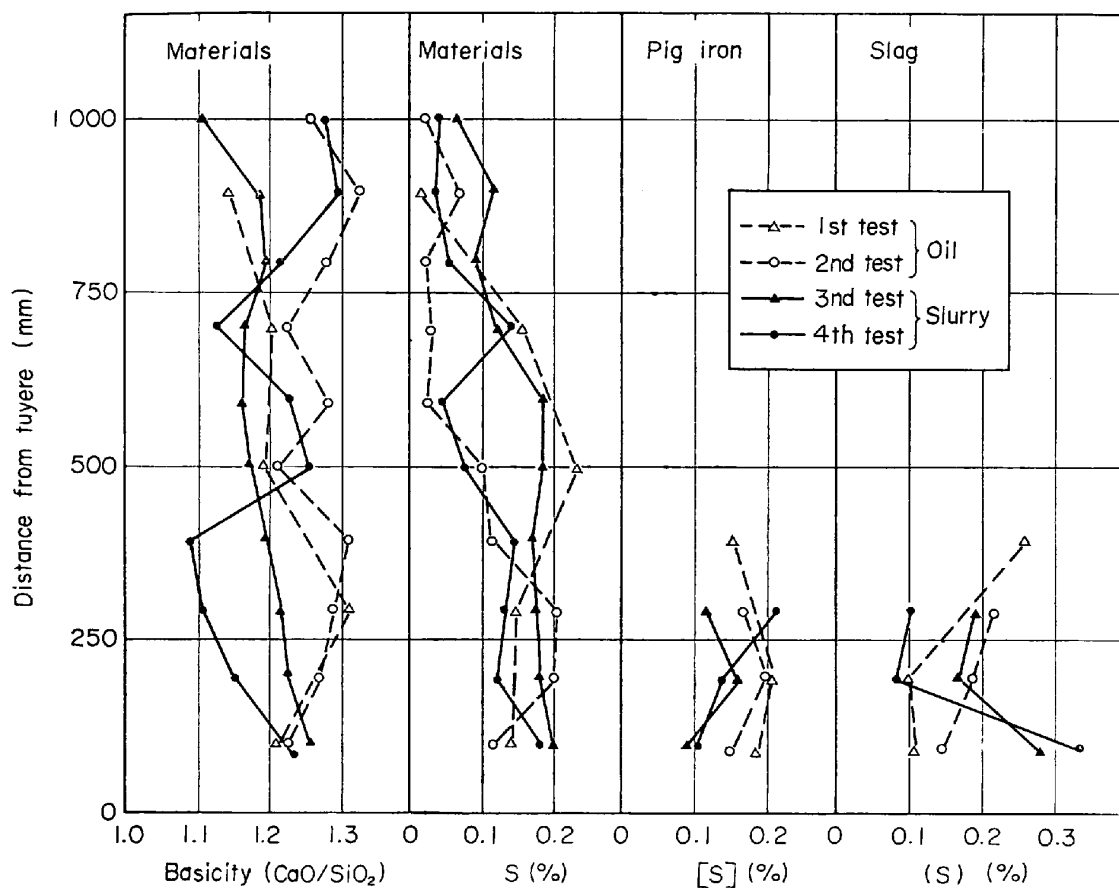


Fig. 13. Distribution of basicity and sulphur content along the experimental furnace height.

Table 3. Basicities of slag at lowest level of melting zone measured by microanalyzer.

Samples	CaO (%)	SiO ₂ (%)	CaO/SiO ₂
Slag granule			
Peripheral region	30.95	23.45	1.32
Central region	28.09	26.99	1.04
Slag adhered to metal drops	33.86	23.60	1.44

での脱硫は石灰スラリーのほうがよく行なわれたことがわかる。

石灰スラリー噴射試験後、溶融帯下端付近で採取した鉱滓粒と、銑鉄粒に付着した鉱滓の試料について、鉱滓の CaO, SiO₂ 分をマイクロアナライザーで測定してみた。測定結果を Table 3 に示す。

銑鉄粒周辺の鉱滓塩基度は Fig. 13 の測定値にくらべてはるかに高い値を示しており、また、鉱滓粒の塩基度も粒内部より周辺部のほうが高くなっている。

したがつて、噴射された石灰粉は、鉱滓粒あるいは溶銑粒の表面で活性化してこの部分の鉱滓塩基度を高くするので、噴射しない場合にくらべ、溶銑中の硫黄分を一層吸収して溶融帯での脱硫性をよくするものと判断され

る。

4. 高炉への石灰スラリー噴射試験

基礎的な検討および中間試験炉での予備噴射試験により、脱硫性の向上に効果のあることが確かめられ、また、操業への悪影響も炉頂部からの装入石灰石と石灰粉噴射量と等量置換すれば、ほとんどないことがわかつた。

このため、石灰スラリーによる操業効果を最終的に確認すべく室蘭第1高炉において噴射試験を実施した。試験は、石灰粉 10 kg/t-p までの第1次試験、および、20 kg/t-p までの第2次試験の2回にわけて実施した。

4.1 噴射方法および試験方法

噴射した室蘭第1高炉の諸元を下記に示す。

内容積 1126 m³, 炉床径 7.7 m, 炉頂圧, 常圧,

送風羽口 150 mm φ × 16個, 120 mm φ × 2個。

石灰スラリー噴射装置の系統図を Fig. 14 に示す。石灰粉は Table 2 に示す性状のサイクロン粉を、また、重油は低硫黄分のC重油(ミナス重油)を使用した。

石灰粉は空気輸送にてホッパーまで輸送し、ロータリーフィーダーにて定量切出しを行なつた。石灰粉と重油の混合比はフィーダーの回転数と重油流量とを比率設定す

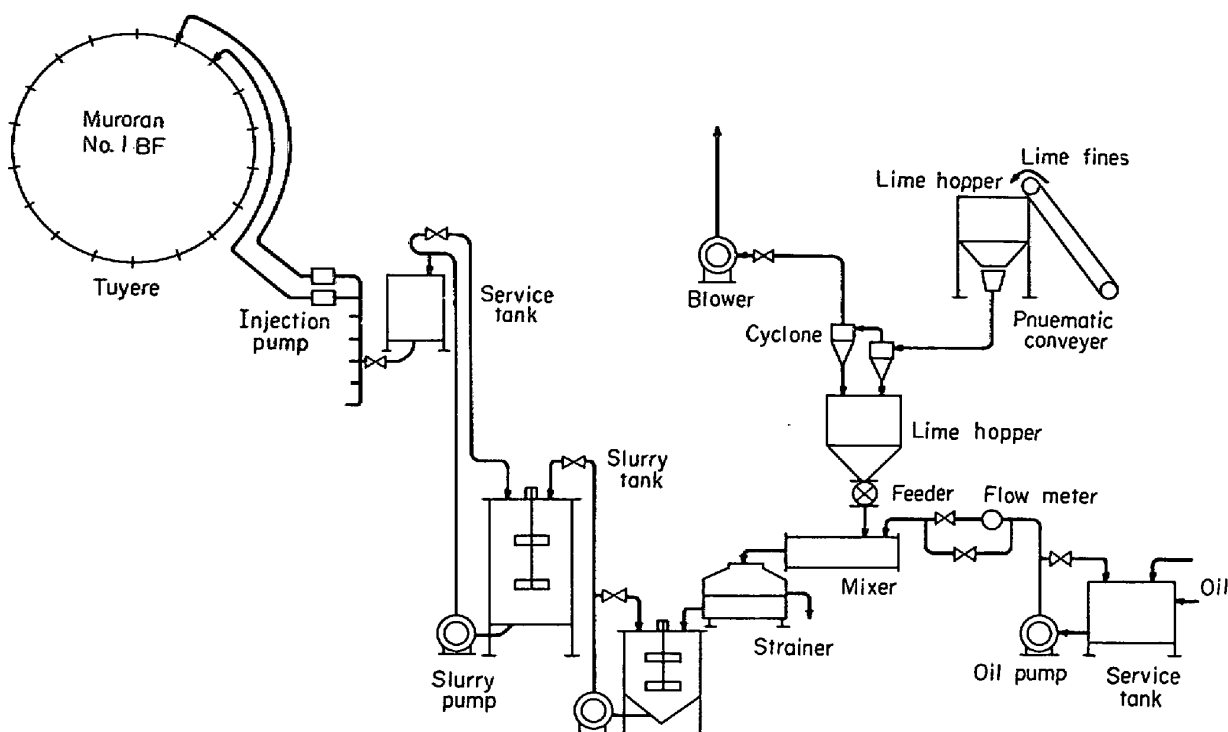


Fig. 14. Lime-oil slurry injection system.

ることにより制御した。スラリータンクで攪拌して均一にした石灰スラリーを輸送ポンプで炉前のサービスタンクに供給し、このタンクから定量噴射装置により各羽口に噴射した。バーナーは既設の重油用単孔形式のものを使用した。噴射羽口は出銑口の両側と No 5, No 7 羽口を除く 14 個の羽口であつた。

噴射にあたつては、炉床部の鉱滓塩基度が常に一定となるように炉頂からの装入石灰石と等量置換する方法をとつた。また、スラリー噴射量の調節は重油単味噴射の場合と同様に送風量との比率が一定となるように、送風量比例制御方式をとつた。

高炉への噴射ははじめての経験であることもあつて、石灰粉の噴射量は第1次試験で 10 kg/t-p 、第2次試験で 20 kg/t-p までとし、石灰粉のスラリー中濃度はそれぞれ 20 wt\% 、 35 wt\% に保持するようにした。試験期間は、第1次の場合、10日間、第2次の場合、3日間とした。また、各試験にはそれぞれ7日間と5日間のベース期間をとつた。第2次試験の期間が短かいのは、石灰粉として使用したサイクロン粉の発生量が少なく、長期にわたり高炉に噴射する量を確保することが困難であつたことによる。なお、石灰粉の噴射にあたり、羽口先燃焼帯温度の低下幅がどの程度になるかを検討した。すなわち、従来から用いられている羽口前理論燃焼温度計算式に送風量、送風温度、湿分量、重油や石灰粉の噴射量

などの値を代入し、重油または石灰粉を単味で噴射した場合の温度低下幅を求めた。計算では石灰粉の比熱を $0.26 \text{ kcal/kg}^{\circ}\text{C}$ 、分解熱を 566 kcal/kg とした。理論燃焼温度の低下は石灰粉噴射量 10 kg/t-p あたり 20°C となり、この温度は等量の重油を噴射した場合のほぼ $1/2$ に相当する。したがつて、重油 10 kg/t-p に石灰粉を 20 wt\% の濃度になるように添加したスラリーの噴射時における温度降下幅は 45°C となる。重油単味やスラリー噴射時の熱補償は送風中に酸素を富化することによつて行なつた。

4.2 噴射試験結果

各試験期間における操業結果を Table 4 に示す。炉況はほぼ順調に推移し、出銑量と燃料比への悪影響はとくにみられなかつた。また、噴射時 U. S. Steel の試験報告¹²⁾（この場合は石灰粉の単味噴射）にあるような羽口まわりへの石灰粉の付着を懸念したが、このようなトラブルも観測されなかつた。

したがつて、石灰粉をスラリー状にして噴射する方法は、羽口先燃焼帶内で石灰粉をかなり分散させるものと判断され、石灰粉の活性化をスムーズに行なわせるには好都合な方法と判断された。

4.2.1 脱硫への影響

$(S)/[S]$ に対する操業要因の影響を解析した結果、次式のような回帰式を得ることができた。

Table 4. Results of operation at the periods of slurry injection through the tuyeres of Muroran No. 1 blast furnace.

Indices		1st period			2nd period		
		Base Jun. 12~18 '69	Test-1 Jun. 2~7 '69	Test-2 Jun. 8~10 '69	Base Sept. 6~10 '69	Test-1 Sept. 11~13 '69	Test-2 Sept. 13~13 '69
Lime fines	(kg/t-p)	0	4.0	10.3	0	10.5	19.3
Heavy oil	(")	40	4.1	4.2	45	47	35
Conc. of lime	(%)	0	9.4	19.9	0	18.3	35.6
Production rate	t/D)	2 202	2 172	2 137	1 983	2 059	2 058
Coke rate	(kg/t-p)	481	479	493	527	516	522
Corrected coke rate	(")	479	479	485	486	481	494
Blast volume	(Nm ³ /min)	1 839	1 778	1 870	1 722	1 794	1 750
Blast pressure	(g/cm)	1 371	1 340	1 385	1 364	1 480	1 380
Blast temperature	(°C)	920	920	920	920	920	920
Oxygen enrichment	(Nm ³ /Nm ³ -b)	9	5	6	29	28	28
CO-CO ₂ rate of top gas		1.26	1.25	1.33	1.34	1.35	1.41
Permeability ¹⁾	Top~Tuyere	0.73	0.71	0.72	0.78	0.81	0.77
	Shaft ²⁾ ~Tuyere	0.25	0.50	0.50	0.52	0.55	0.53
Si in pig iron	(%)	0.64	0.58	0.72	0.68	0.59	0.49
S in pig iron	(")	0.016	0.017	0.015	0.019	0.025	0.024
Slag rate	(kg/t-p)	261	266	266	335	314	322
CaO in slag	(%)	42.34	41.24	41.95	42.24	42.69	41.98
S in slag	(")	0.61	0.61	0.67	0.69	0.70	0.71
Basicity of slag	(CaO/SiO)	1.23	1.17	1.21	1.16	1.16	1.14
Bell's ratio	(S)/[S] _{obs.}	1.31	1.26	1.30	1.23	1.23	1.21
	(S)/[S] _{corr.} ³⁾	40.5	36.1	44.9	36.3	28.0	29.6

1) Pressure drop-blast volume ratio. 2) Distance from tuyere level 11.05 m.

3) Value at condition of Bell's ratio 1.29, Pig tem. 1 460°C, (MnO)/[Mn] 0.9.

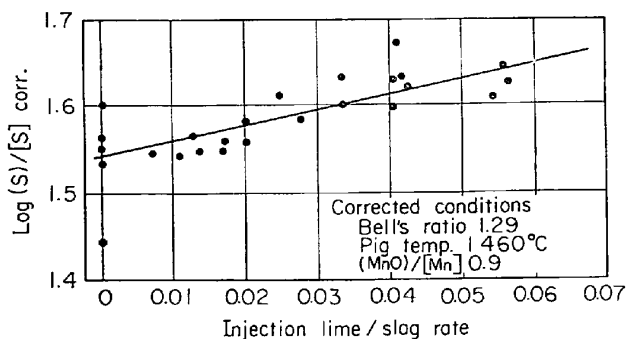


Fig. 15. Effect of lime fines in slurry on the desulphurization of pig iron.

$$\log(S)/[S] = 0.8290B + 0.00178T - 0.690M + 1.743L - 2.054 \quad (1)$$

(r = 0.92)

脱硫率に対する鉱滓塩基度、出銑温度、脱マンガン率の影響を補正して、石灰粉噴射量との関係をみてみると Fig. 15 のようになる。図より、装入石灰石と等量置換して石灰スラリーを噴射した場合の脱硫率 ($\log(S)/[S]$) は、鉱滓量を 250 kg/t-p とすれば、石灰粉噴射量 20 kg/t-p の場合、1.54 から 1.68 にまで増すことが

わかる。

通常の操業時に、溶銑中の硫黄分が 0.02~0.03% あるとすれば、石灰スラリーの噴射によつて 0.016%~0.022% にまで減少する。これは溶銑中の硫黄分をほぼ 25% 低減できることに相当するので、脱硫効果の大きいことがわかる。

4.2.2 石灰粉の淬化状況

石灰粉の淬化状況を知るため、石灰粉が溶融帶で全量淬化した場合と吹抜けてしまつた場合の両方について、炉床部の鉱滓成分を計算し、実測した成分と比較した。

Fig. 16 に示すように、鉱滓成分は全量淬化したものとする計算値のほうが実測値と比較的よく一致している。なお、鉱滓成分の計算は 8 hr 前に装入した装入物の成分と、この成分から求めた計算出銑量をもつて行なつた。また、石灰粉の吹抜けの有無を確認するために、炉頂部の測定孔から噴出させたダストをフィルターで捕集し、粒度別に CaO 分の含有量の変化を調べた。ダスト中の CaO 分は炉頂からの石灰石装入量と相関があり、石灰スラリー噴射時に特に高くする傾向はなかつた。炉頂ダストキャッチャーに捕集されたダストについ

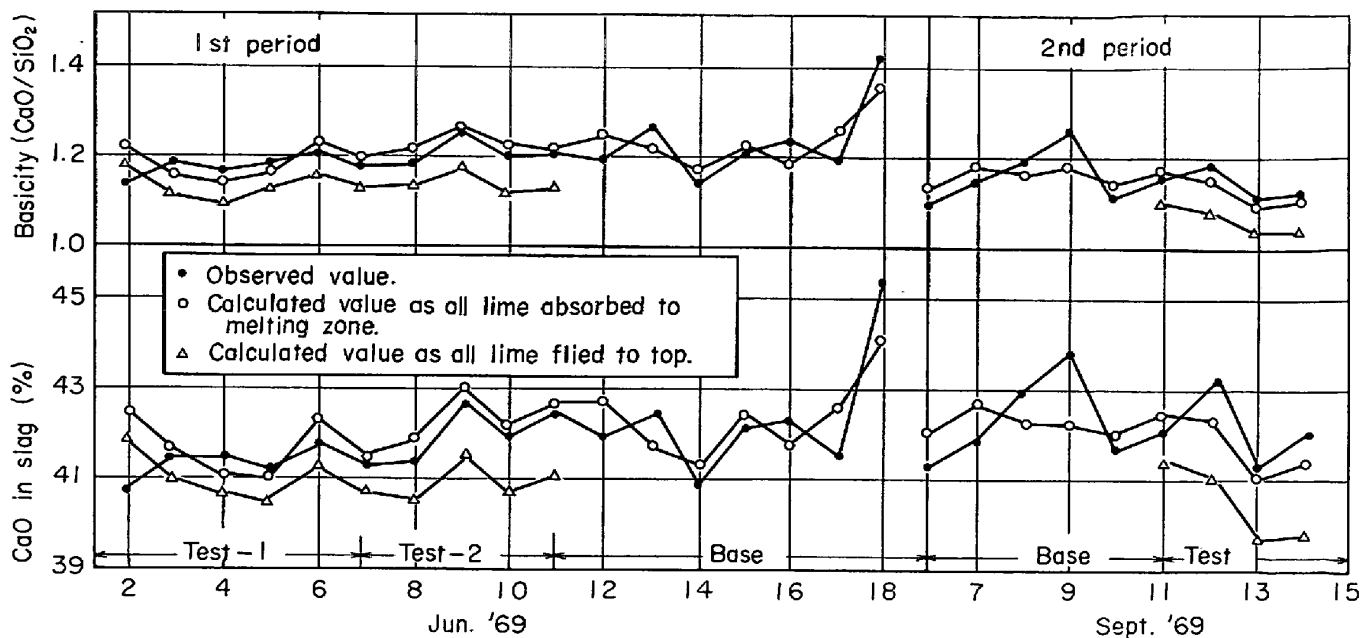


Fig. 16. Comparison between observed and calculated slag compositions.

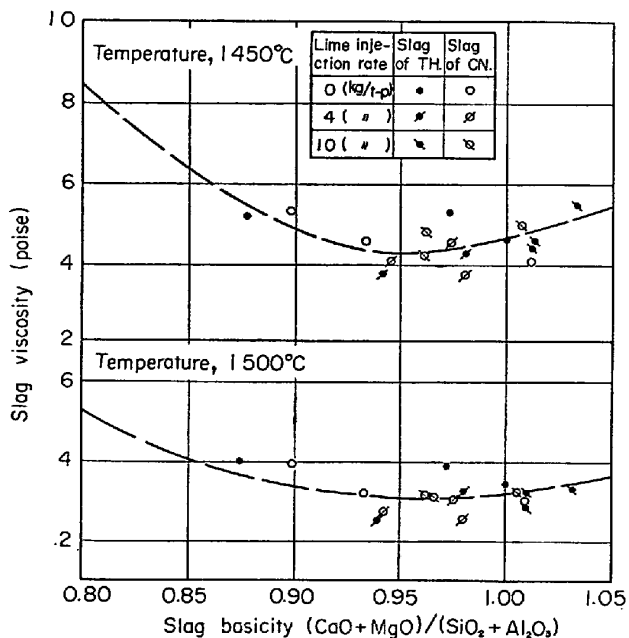


Fig. 17. Viscosity of slag sampled from tap hole and cinder notch at the periods of slurry injection.

(Broken line indicates slag viscosity at normal operations.)

ても CaO 分を調べたが、噴射時に特に高くなる傾向は認められなかつた。したがつて、これらの結果から、噴射した石灰粉は、基礎試験からも予想されたとおり、ほぼ全量溶化したものと判断された。

一方、ベースとテストの期間中に出滓・出銑口から排出した鉱滓を日ごとに桶中から採取し、鉱滓粘度の測定

を行なつた。鉱滓は金型 (10 mm²) で急冷したのち数 mm 以下に粉碎して供試料とした。測定は回転式粘度計で行なつたが、その結果を Fig. 17 に示す。石灰スラリーの噴射によつて粘度が特に上昇するような変化はみられない。図中の破線は通常操業時の鉱滓粘度について求めたものである。

4.2.3 溶融帯の通気性に及ぼす影響

送風羽口レベルより 11.05 m の上部位置 (シャフト部下段) に炉内風圧測定孔をとりつけ、この位置の風圧と送風圧との差から炉下部の風圧損失を求めた。

溶融帯を含むこの領域の通気抵抗を風圧損失と送風量の自乗値の比で示し、石灰スラリー噴射とともにボッシュ部の鉱滓塩基度 (計算値) との関係を調べた。この結果、次のような回帰式を得ることができた。

$$\begin{aligned} (\Delta P/V^2) \times 10^4 &= -0.00227V + 1.572\{B_1 + 0.705 \\ &\quad (B_2 - B_1)\} + 0.1734D + 5.238 \dots \dots \dots (2) \\ &\quad (\gamma = 0.78) \end{aligned}$$

この式より、ボッシュ部の鉱滓塩基度を炉頂からの石灰石装入、および石灰粉の噴射によつて調整した場合の通気性への影響を知ることができる。すなわち、(2)式において、 B_1 の $(B_2 - B_1)$ の係数の比が 1 であれば、炉頂からのみ石灰石を装入した場合 ($B_2 = B_1$) と同じになり、石灰粉噴射による通気性改善の効果は期待できない。しかし、係数の比が 0.705 と小さくなることから、装入石灰石の一部を石灰粉の噴射でおきかえたほうが通気抵抗は減少する。上式から、石灰粉 20 kg/t-p の噴射によつて $\Delta P/V^2$ の値が 0.046×10^{-4} 程度減少すること

がわかる。

なお、第1次と第2次の試験では、 $\Delta P/V^2$ の値にレベルの差があるので、石灰スラリー噴射による通気性の改善効果も、その時の操業条件によって大きく影響をうけることが考えられる。

5. 結 言

高炉への石灰・重油スラリー噴射について、あらかじめ、その効果と問題点を基礎試験および中間規模の試験炉で検討したのち、室蘭製鉄所の第1高炉に噴射し、操業への効果を確かめた。結果は次のように要約される。

基礎試験

1) 通常高炉の硫黄分配率($S/[S]$)は20~60であるが、実測した平衡硫黄分配率からみると、平衡到達度は20~40%にすぎず、さらに脱硫を進め得る余地がある。

2) 高温の石灰粉流動層中に溶銑粒を滴下すると速やかに脱硫されるので、羽口先での滴下溶銑の脱硫効果が期待できる。

3) 吹き上つた石灰粉の多くは溶融帶で反応する。溶融物の滴下温度は、石灰粉に相当する量だけ炉頂からの石灰装入量を減らせば、噴射量に比例して上昇することはない。

4) スラリー粘度は、石灰粉の濃度が40wt%以下であれば、それほど上昇しない。本試験に使用したサイクロン粉の場合、管内流速を10cm/sec以上にとれば安定した状態で輸送できる。

予備試験

1) 石灰スラリーを噴射した場合、重油の燃焼ガス中の硫黄分は石灰粉によつていくらか吸収されるが、ガスとの接触時間が短かいため大きくない。

2) 石灰粉は溶融帶下部の溶銑・溶滓粒表面で滓化し、この付近の鉱滓塩基度を高くするので、重油噴射時にくらべて、溶融帶における脱硫性はよくなる。試験炉操業で、石灰スラリーの噴射によつて通気性が悪化するようなことはなかつた。

操業試験

1) 炉頂からの装入石灰石の一部を等量置換する形で石灰粉を重油スラリーとし、高炉に噴射する試験を行なつた。石灰粉は20kg/t-pまで、スラリー中の濃度は

35wt%まで上昇させた。

2) 炉況は順調に推移し、送風羽口まわりの石灰粉による汚れ、鉱滓粘度上昇などのトラブルはなかつた。

3) 石灰粉20kg/t-pの噴射によつて、溶銑中の硫黄分が25%低減できる脱硫効果がえられた。

4) 石灰粉はほぼ全量溶融帶で滓化され、炉頂部からダストとして排出されるようになかつた。噴射にともない、炉下部の通気性も改善された。

記 号

B : 炉床部鉱滓塩基度 $((\text{CaO} + 0.7\text{MgO}) / (0.94\text{SiO}_2 + 0.18\text{Al}_2\text{O}_3))$ (-)

B_1 : 石灰粉を含まない場合のボッシュ部の計算

鉱滓塩基度 $((\text{CaO} + \text{MgO}) / (\text{SiO}_2 + \text{Al}_2\text{O}_3))$ (-)

B_2 : 石灰粉を含む場合のボッシュ部の計算鉱滓

塩基度 $((\text{CaO} + \text{MgO}) / (\text{SiO}_2 + \text{Al}_2\text{O}_3))$ (-)

D : ダミー変数 (Table 4で示す第1次試験では

0, 第2次試験では1) (-)

L : 石灰粉噴射量/鉱滓量

M : 脱マンガン率 ($\text{MnO} / [\text{Mn}]$) (-)

ΔP : 高炉送風圧とシャフト下段風圧との差

(g/cm^2)

T : 出銑温度 ($^\circ\text{C}$)

V : 送風量 (Nm^3 / min)

文 献

- 1) 池上: 鉄と鋼, 58(1972) 5, p. 565
- 2) G. STEUDEL: Blast Furn. Steel Pl., 33(1950), p. 775
- 3) H. NEUHAUS, et al.: Stahl u. Eisen, 85(1965), p. 1578
- 4) 梶谷, 大谷, 岡部: 鉄と鋼, 59 (1973) 1, p. 33
- 5) I. S. KULIKOV: Metallurgizdat, (1962), Chap. IV, p. 137
- 6) G. A. VOLOVIK: Stal in Eng., (1966) 5, p. 347
- 7) M. R. KALYANRAM, T. G. MACFALANE, H. BELL: JISI, 195 (1960), p. 58
- 8) 吉井, 石井: 鉄と鋼, 53 (1967) 10, p. 19
- 9) 森永, ほか: 燃料協会誌, 46 (1967) 480, p. 211
- 10) 寺田: ハイドロリックコンベヤ, (1962), p. 75 [日刊工業新聞社]
- 11) K. E. SPELLS: J. Inst. Chem. Eng., 33 (1955) 2, p. 79
- 12) STUBBS: Iron and Coal Trades Review, 11 (1957), p. 861